С. М. ИСЛАКЯН

О ВОРОНКООБРАЗОВАНИИ ПРИ ОСЕСИММЕТРИЧНОМ ИСТЕЧЕНИИ ЖИДКОСТИ ИЗ ДОННЫХ ОТВЕРСТИП

1. Навестно, что при истечении из круглого отверстия, расположенного в центре дна цилиндрического сосуда жидкость, несмотря на симметричность всех действующих сил, вращается относительно оси симметрии. Вследствие вращения давление над отверстием падает и на свободной поверхности образуется воронка.

Причину указанного явления обычно искали в нарушении симметрии действующих сил.

Здесь показано, что вращение жидкости относительно оси симметрии отверстия является следствием действия устойчивого винтового вихря, отражающего гидродинамическое сопротивление дна сосуда истекающей жидкости, для получения которого не гребуется приложения асимметричных сил.

Измеренное автором с помощью шарового зонда пространственное поле скоростей в области воронки (рис. 1) показывает, что в сосуде имеет место сложное спиральное движение. После выхода из отверстия жидкость движется винтообразной струей с двумя вьюшимися жилками. Описанное приводит к выводу, что вращение в сосуде вместе со скрученной струей представляют одно общее винтообразное движение жидкости при се истечении через отверстие.

Вследствие гидродинамического сопротивления кромки отверстия истекающей жидкости образуются вихровые кольца или, чаще, винтовой вихревой шнур.

В [1] доказана пеустойчивоеть одноосных вихревых колец, расположенных перпендикулярно относительно оси симметрии колец. а в [2]—устойчивость винтового вихря в очень широком диапазоне его геометри-

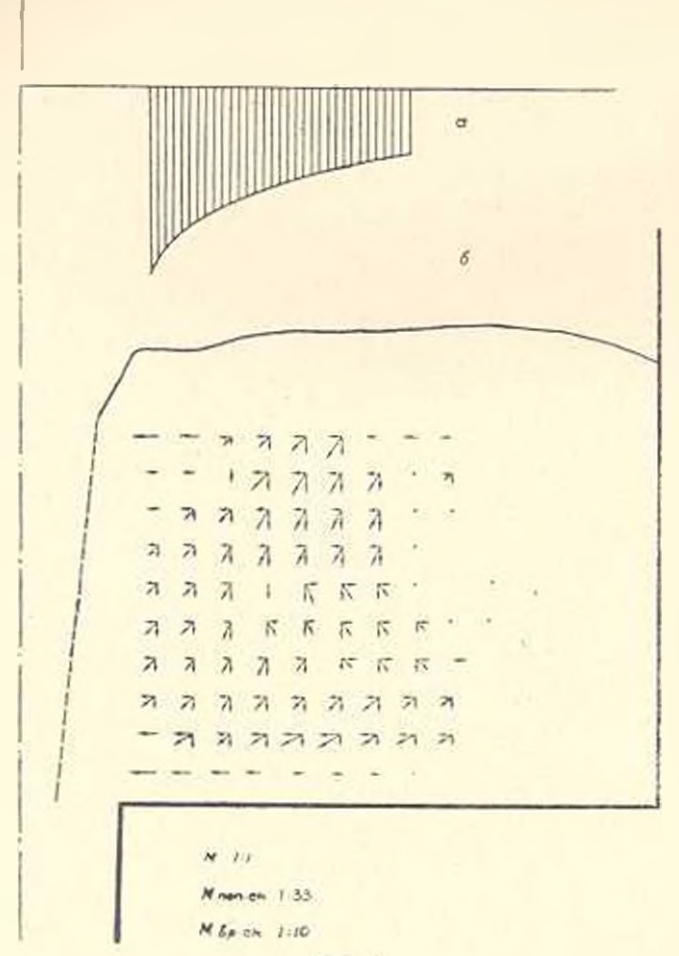
ческой характеристики: $\lg a = \frac{l}{2-a} > 0.3 (l - \text{шаг винга, } a - \text{радиус})$

(ряс. 2). Следовательно, более вероятно появление винтового вихря в струе, чем кольцевых вихрей.

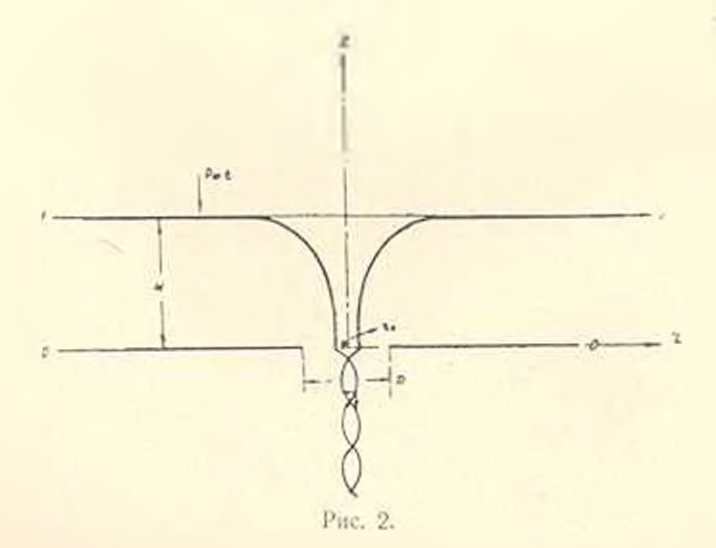
Рассматриваемое явление аналогично образованию дорожки Кармана при обтекании тел в плоскости и является ее пространственным случаем.

В противоположность кольцевым вихрям винтовой вихрь обладает, кроме поступательной скорости вдоль оси потока, также вращательной составляющей относительно этой оси [2, 3], что вполне понятно. Это и является причиной вращения истекающей струп жилкости относительно оси симметрии отнерстия. Заметим, что здесь безразлично: что именно явилось возбудителем инитового вихря. Важно, что внит есть устойчивая форма существования вихря, к которой могут стремиться любые другие.

Чтобы проверить влияние Кориолисового ускорения Земли на обра-



PHc. 1.



зование винтового вихря, автором были выполнены опыты по определению направления вращения винта. Для осуществления истечения жилкости во всех направлениях: вина, вверх, горизонтально, наблюдения велись как над окрашенной жидкостью, так и над воздушной струей, распространяющейся в воде. Последняя создавалась путем ввода воздуха через иглу ширица в стеклянную грубу, заполненную водой. Направление вращения в наблюдениях подчинялось закону электромагнитного поля. Следонательно, не вращение Земли определяет наблюдаемое вращение истекающей струи. Если даже оно окажется возбудителем винтового випря, то только в качестве катализатора, направляющего движение к его устойчивой форме.

2 Согласно теореме Стокса винтовой вихрь должен яндунировать в жидкости и противовихрь, который в данном случае может быть как винтовым, так и прямолинейным. Если противовихрь винтовой, он будет обладать поступательной скоростью, направленной против движения истекаюшей жидкости, то есть в сторону резервуара. Стремясь к свободной поверхности жидкости, он сильно затормозил бы истечение жидкости из отверстия. Если же он прямолинейный, то не имел бы поступательной компоненты скорости в сторону свободной поверхности жидкости в сосуде. Поскольку наблюдения показывают, что на свободной поверхности жидкости в сосуде воронка образовывается и имеет пульсирующий характер, приходим к выводу, что в истекающей струенидущируется именно винтовой противовихрь, который после выхода к свободной поверхности жилкости выпрямляется и уносится потоком. Как показывают наблюдения. этот процесс повторяется с почти закономерной частотой. Таким образом, устойчивый винтовой вихры, будучи носителем гидродина мического сопротивления дна сосуда истекаемой из отверстия жидкости, является причиной образования как винтообразного движения струи за отверстием, так и вращения жидкости и сосуде, следовательно, причиной и поронкообразования.

3. Количество жидкости, пропускаемое отверстием в единицу времени

$$Q = \tau a_0 V 2\overline{gII}, \tag{1}$$

где и - радиус отверстия, И высота едоя воды над отверстием.

При действии сил сопротивления, выраженного винтоным вихрем в струе и воронкой в сосуде, пропускиая способность отверстия будет ограничена полем действия винтового вихря. С ислью количественной оценки этого воздействия рассмотрим поле скоростей винтового вихря.

В [3] показано, что продольная составляющая скорости вне цилиндра, огнбающего ось винтового вихря, равна нулю. Внутри же этого цилиндра равна

$$\frac{\Gamma}{2 \pi a \lg a}$$
 (2)

В таком случае в единицу времени при винтовом вихре будет пропущена жидкость в количестве

$$Q_{\delta} = \pi a^{2} \frac{\Gamma}{2 \pi a' \operatorname{tg} a'}$$
(3)

В силу (1) и (3) коэффициент расхода отверстия

$$m = \frac{Q_b}{Q} = \frac{\pi a^2 \Gamma}{2\pi a \operatorname{gr} \pi a \operatorname{H}} \frac{2gH}{2gH} . \tag{4}$$

По условию непрерывности скорость в сечении отверстия, определенная по Торичелли, должна равняться таковой, определенной по (2)

$$V^2gH = \frac{\Gamma}{2\pi a \lg a} \tag{5}$$

С учетом (5) на основании (4)

$$m = \frac{\alpha}{\alpha_0}.$$
 (6)

Здесь раднус цилиндра а, запимаемого виптовым вихрем, опрелеляется из следующих сооражений. Поле скоростей винтового вихря вместе с противовихрем в поперечном ссчеши может быть представлено в виде пары антисимметричных прямолинейных вихрей. При построении линий тока этой пары вихрей при их поперечном обтекании равномерным потоком, получается нейтральная оболочка, изолирующая вихревую область от остального потока. Как показано в [4], линии тока внутри этой области не зависят от интенсивности вихрей, а полуоси этого контура определяются величинами: 1,73а и 2,09а, Здесь а—полурасстояние между вихрями и в рассматриваемом случае—раднуе пилиндра, огибающего виитовой вихрь. Так как винтовые вихри вращаются вокруг оси симметрии, то большой раднус 2,09а в данном случае оконтуривает вихревую область. Совместив отмеченный контур нулевых скоростей с контуром отверстия с раднусом ао, получаем величину раднуса винтового вихря

$$a = \frac{a_0}{2.09}$$
 (7)

В силу (7) на основании (6)

$$m = \frac{a_0}{2.09^2 \cdot a_0^2} = 0.229. \tag{8}$$

По экспериментальным данным [5] начение коэффициента расхода для круглых отверстий колеблется в пределах 0.178—0.287 и в среднем равно 0.233, т. с. близко к расчетной величине (8).

Институт органической химпи АН Армянской ССР

ЛИТЕРАТУРА

- H. Levy, A. G. Forsdyke, Proc. Royal Soc., A 114, 1927, pp. 594-604.
- : H. Levy, A. H. Forsdyke, Proc. Royal Soc., A 120, 1928, pp. 670-990. 3. H. E. Жуковский Пабранные сочинения, т. 2, 1948, стр. 199,
- 4. Brillion. Recherches resentes sur civerses questions d'livdrodynantque, 1891.
- 5 А. С. Гибсов, Гидравлика и се приложения, 1934, стр. 93

P. C. ASAPSHI, A. A. BABASH

К ВОПРОСУ ТРЕЩИНОСТОРКОСТИ И ПРОЧНОСТИ наклонных сечении балок из легкого железобетона при отсутствин поперечноп **АРМАТУРЫ**

Исследования прочности наклопных сечений изгибнемых железобетовных элементов из легких бетонов на естественных пористых заполинтелях, насколько авторам известно, никем не производились. Между тем вопрос этот имеет нажное значение при определении прочиости и грешиностойкости изгибаемых элементов. В связи с этим в лаборатории сопротивления железобетона АИСМ не затронутому вопросу авторами в 1967 году были начаты систематические исследования, В статье приведены результаты первой серии опытов нал 16-ю железобетонными балками из бетонов марок 250 и 350 на литоидной пемзе.

Все балки имели размеры 200 × 24 × 15 см и были армированы только продольной рабочей арматурой из стали класса А-П, диаметром 14 л 18 мм. Балки были испытаны на нагиб на 50-гонной универсальной машине ГРМ-1 по схеме, показанной на рис, 1. Одновременно по известной методике были испытаны контрольные бетонные кубы и призмы. а также образцы арматурных стержней для определения упруго-пластических и прочностных характеристик бетона и арматуры.

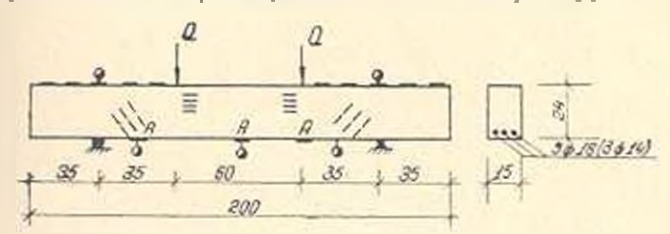


Рис. 1 Схема испытания балки: датчики на бетоне;

A - датчики на ариатуре; 🕦 — инликаторы,

Испытания проводились с целью изучения влияния продольного армирования на процесс образования и развития наклонных трещин и характера разрушения по этим трешинам балок из легкого бетона, Появление и развитие наклонных трещии в ходе испытаний фиксировалось визуально и микроскопом с ценой деления 0,05 мм. Деформации бетона и арматуры замерялись таизодатчиками сопротивления, приклеенными к